

**EVOLUCIÓ DEL PAISATGE VEGETAL HOLOCÈ
AL PLA DE BARCELONA,
A PARTIR DE LES DADES POL.LÍNIQUES**

TESI DOCTORAL

Presentada per
Santiago Riera i Mora
Octubre de 1994

Dirigida per:

Dra. Maria de Bolòs i Capdevila

Dr. Josep Maria Gurt i Esparraguera

**Programa de Doctorat 912: Economia i Societat en el Món Antic.
Bienni 1989-1991.**

**Departament de Prehistòria, Història Antiga i Arqueologia.
Facultat de Geografia i Història. Universitat de Barcelona.**

BESOS (PLA DE BARCELONA) Fases de pertorbació. Percentatges.

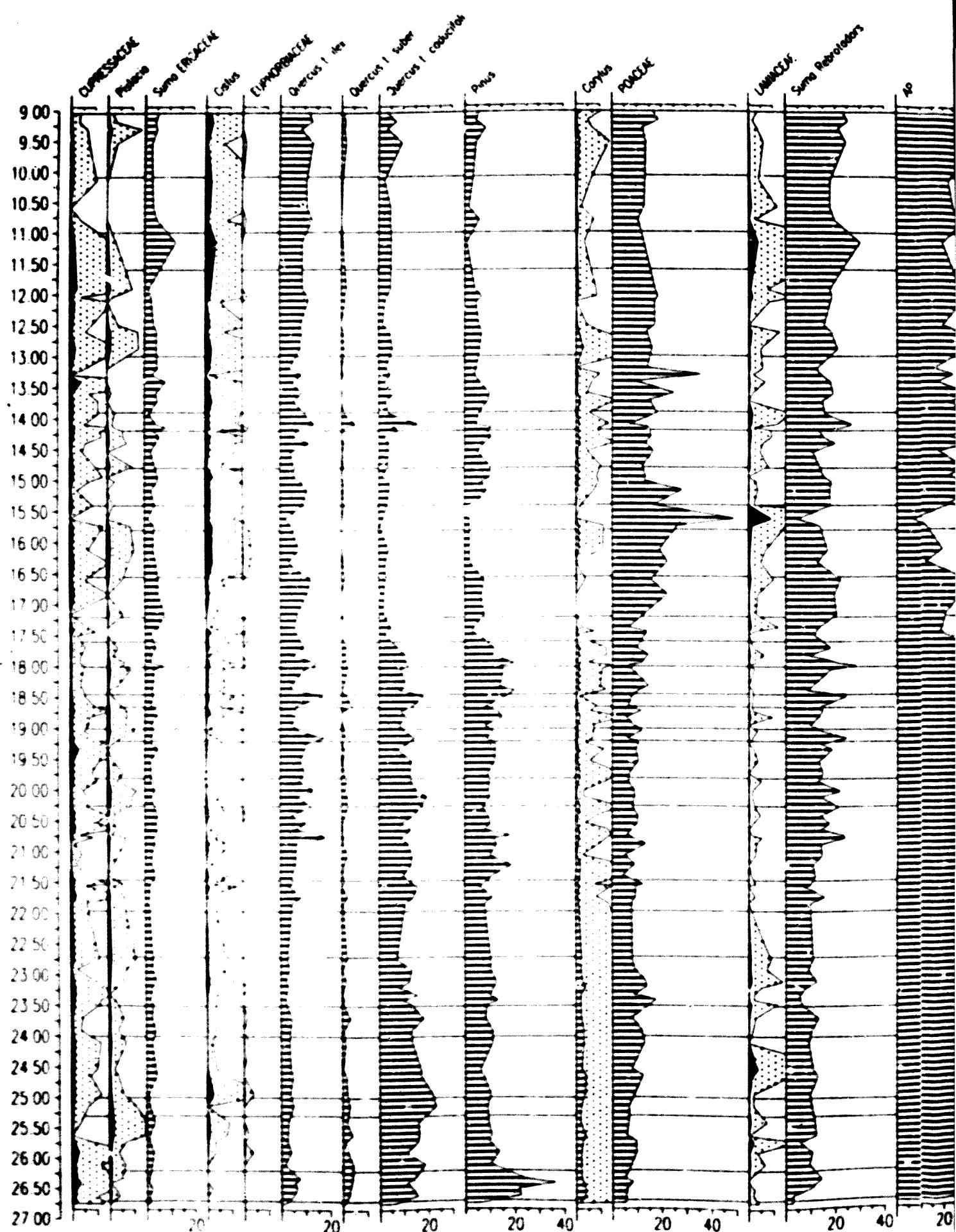
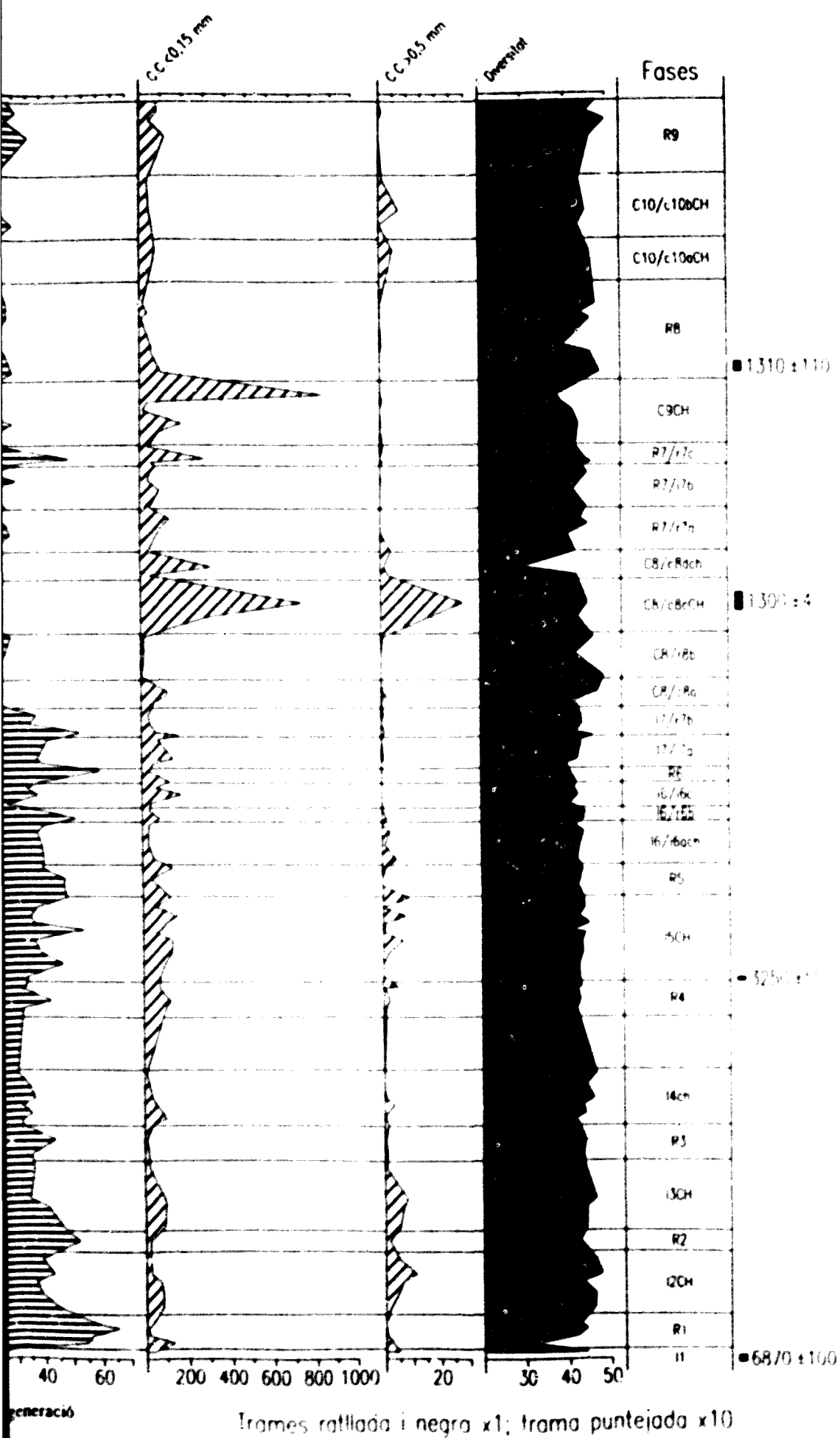


Fig. IX.16. Diagrama percentual del sondatge BES, amb les diverses fases de la perturbació



BESOS (PLA DE BARCELONA)
Model general de pertorrenció 1 - Percentatges

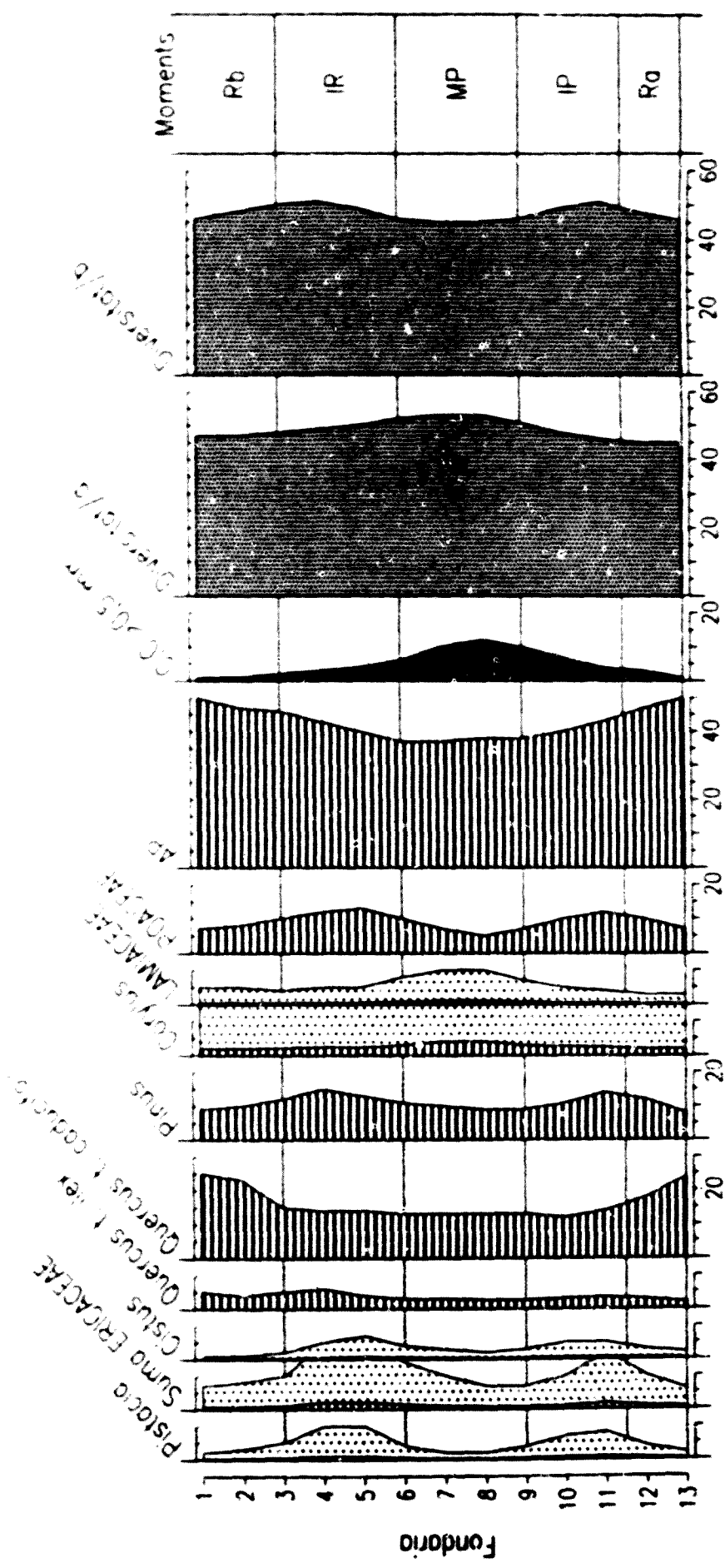


Fig. IX.17. Ecograma teòric d'una fase de pertorrenció-regeneració del model 1 de BES. Les dades es basen en valors percentuals
Irrigació ratiñada x1, tramo puntejada x10

18a

BESOS (PLA DE BARCELONA)
Fase de perturbació (2CH). Percentatges

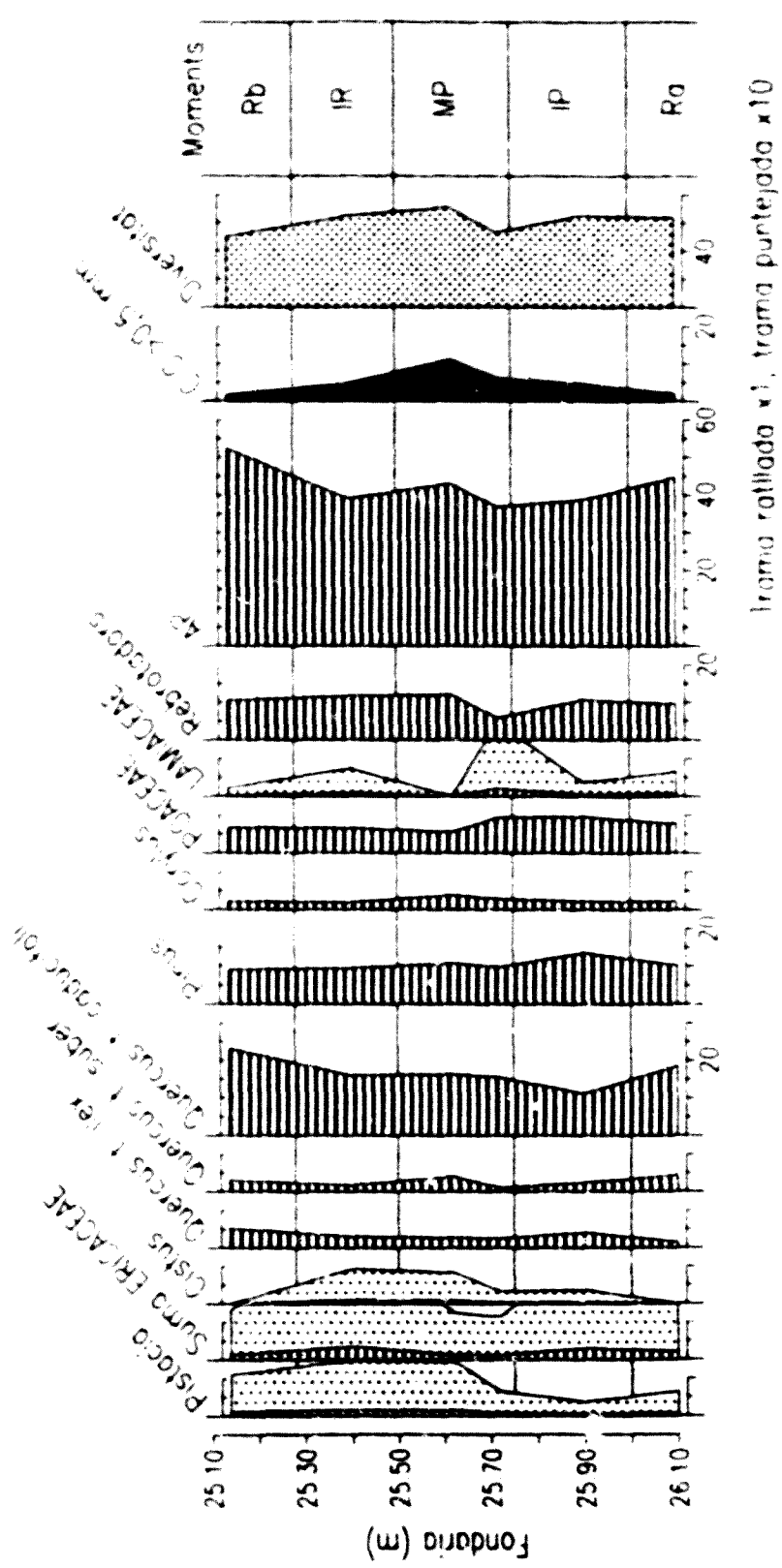
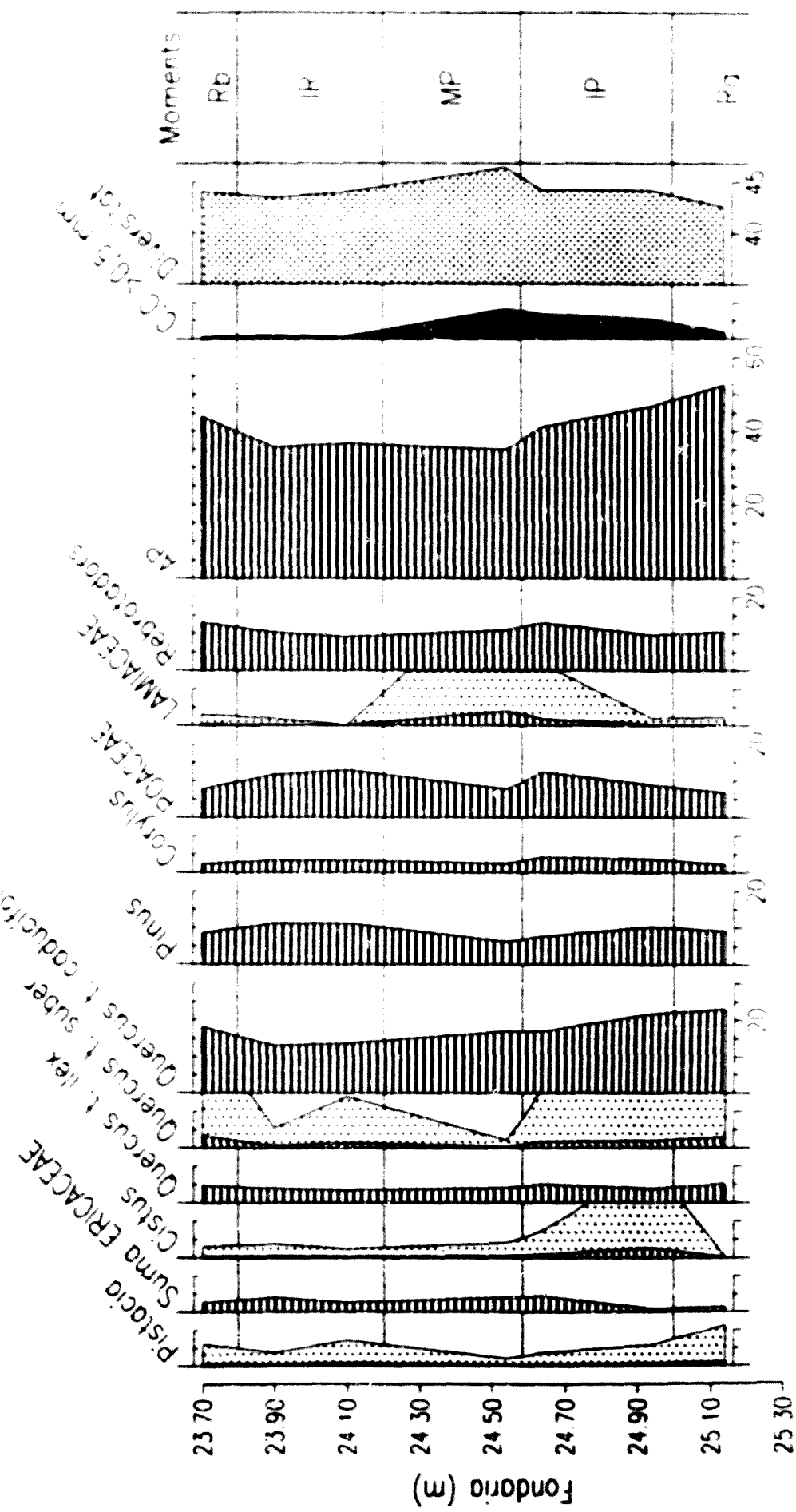


Fig. IX 18. Detall de diverses fases de perturbació al diagrama BES. Les dades es fanen en valors percentuals.

La figura 18a, correspon a la fase 2CH, o la 18b, a la fase 1CH.

BESOS (PLA DE BARCELONA)
Fase de perturbación 13CH. Porcentajes.



Unidades: 100, tramo purificado x 10

BESOS (PLA DE BARCELONA)
Model general de pertorbació 2 - Percentatges

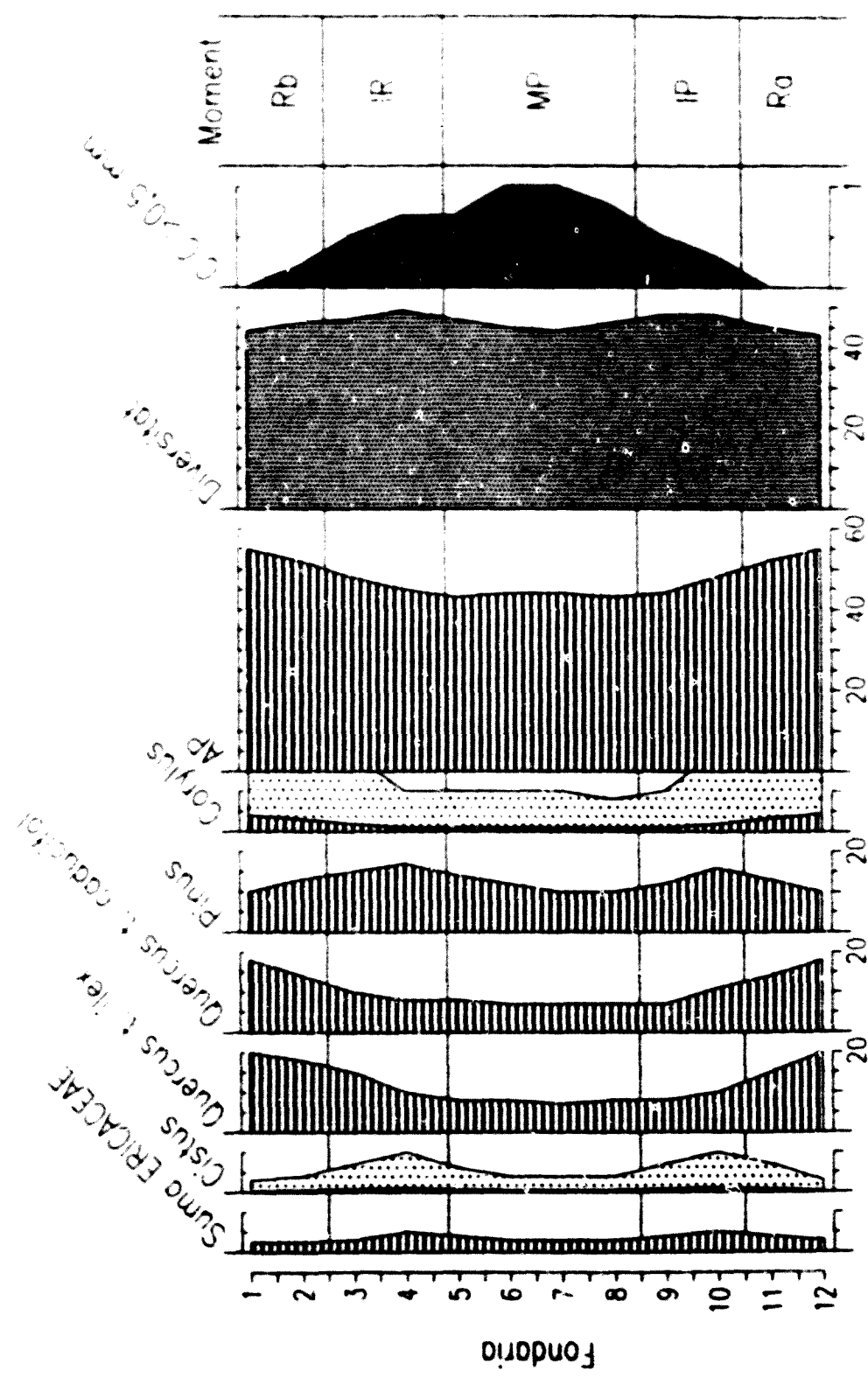


Fig. IX.19. Esquema teòric d'una fase de pertorbació regeneratiu del model 2 de BESOS. Les dades es basen en values percentuals

BESOS (PLA DE BARCELONA)
Fases de permutació C8 - R7 Percentatges

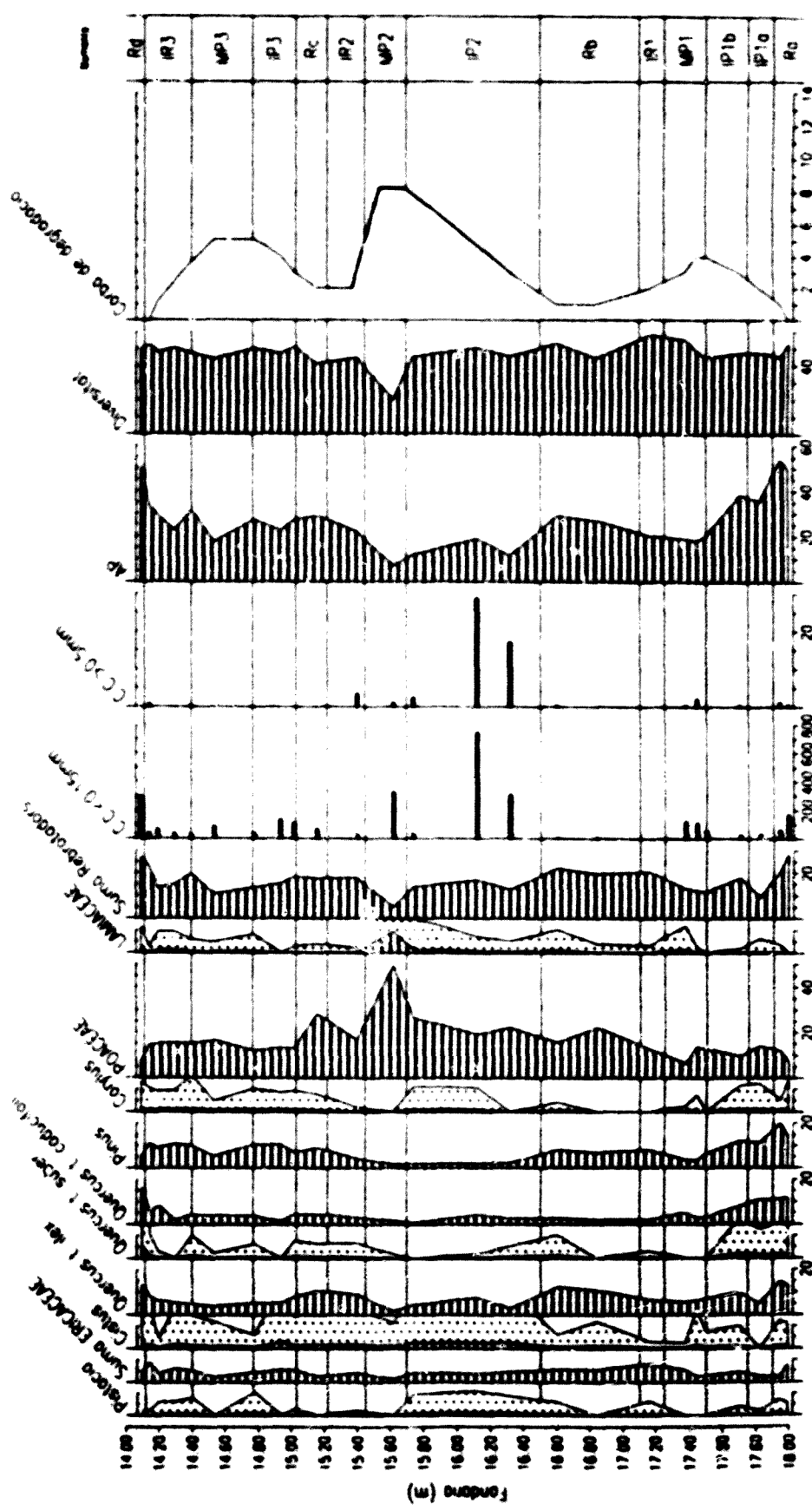


Fig. IX.20. Detall de les fases de permutació i regeneració, C8 + R7 de BESOS. Les dades es hanen en els valors 100% (unida = 1). Tímm. Diànitroperòxid • 10

DRASSAMES - 1 (PLA DE BARCELONA)
Fases de pertorbació. Percentatges

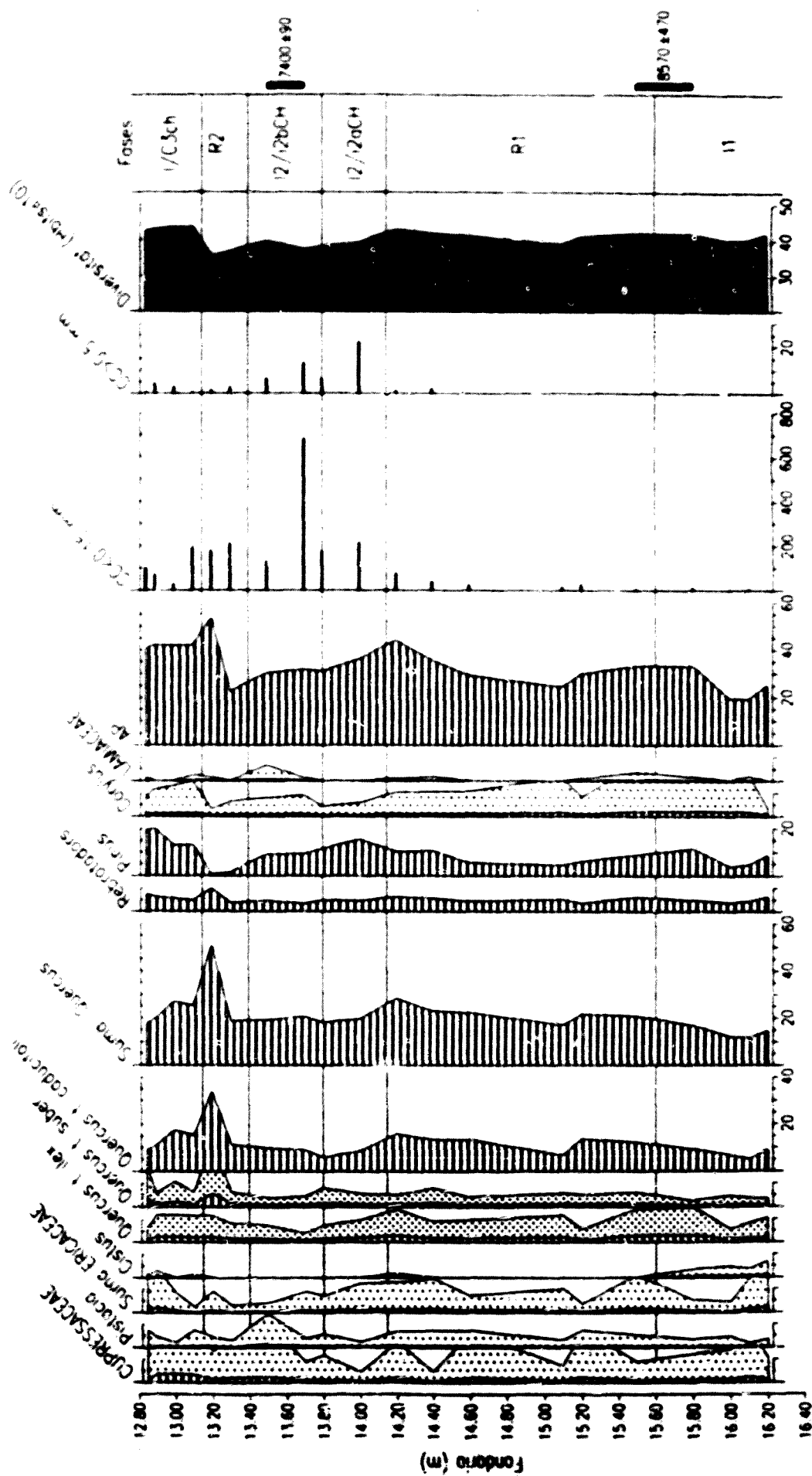


Fig. IX 21 Diagrama per centual de D.R. 1 amb les diverses fases de perturbació i representació identificades

Trama reflectida al trama puntejada x 10

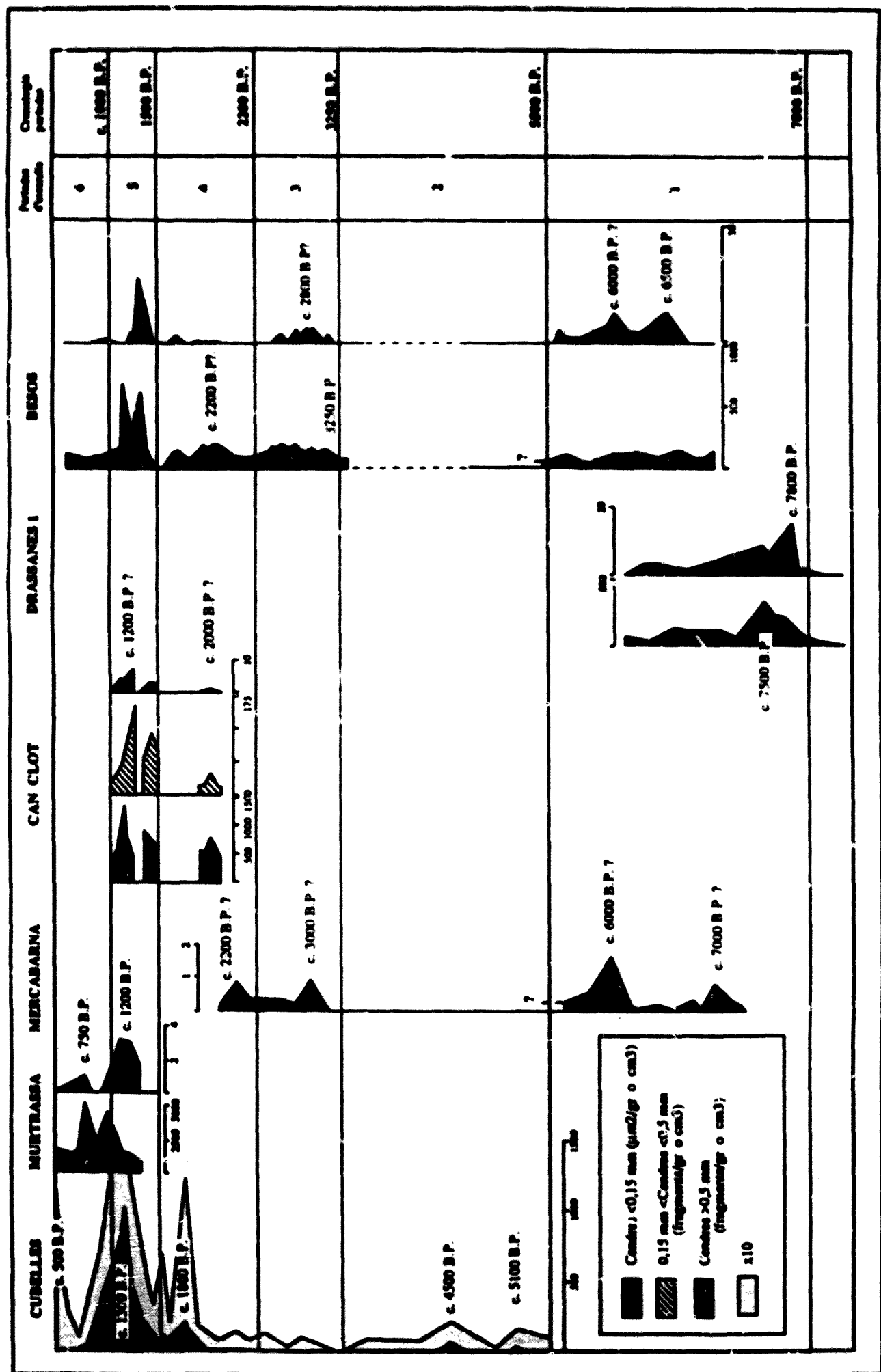


Fig. IX.22. Quadre comparatiu de les contes de macro i microcendres, dels diversos diagrames. S'expressen, també, els diversos períodes, basats en la freqüència i la localització dels incendis.

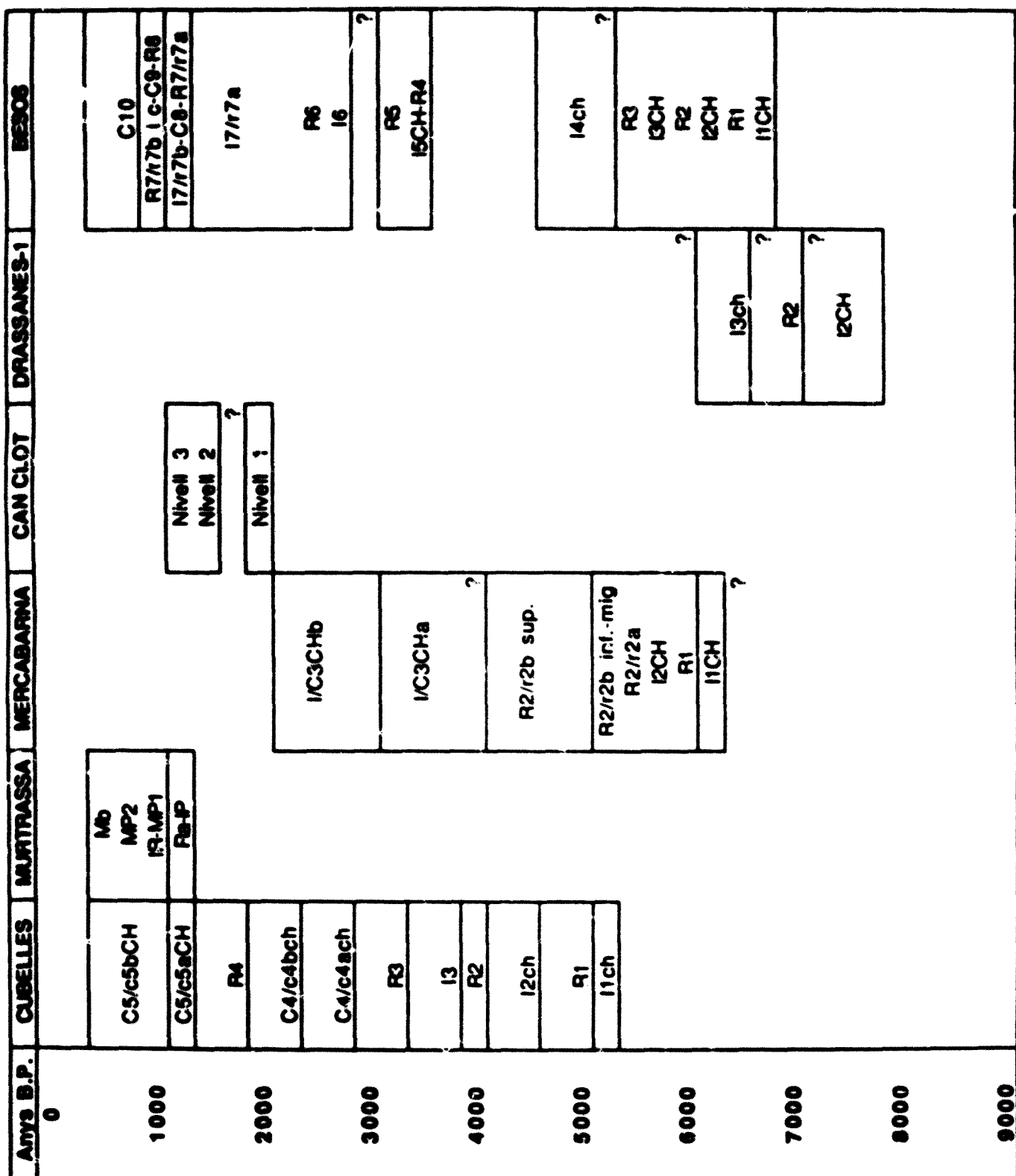
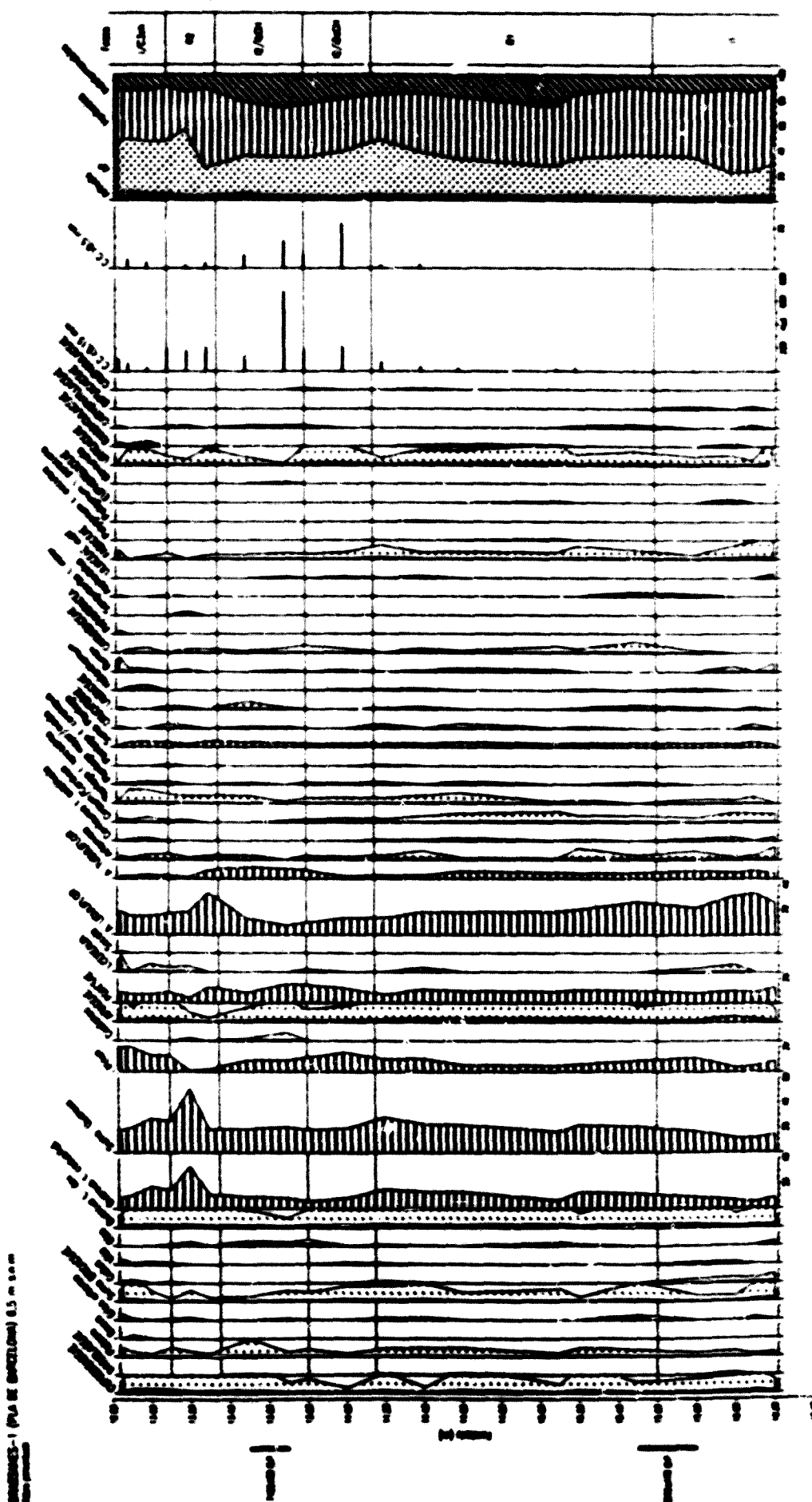
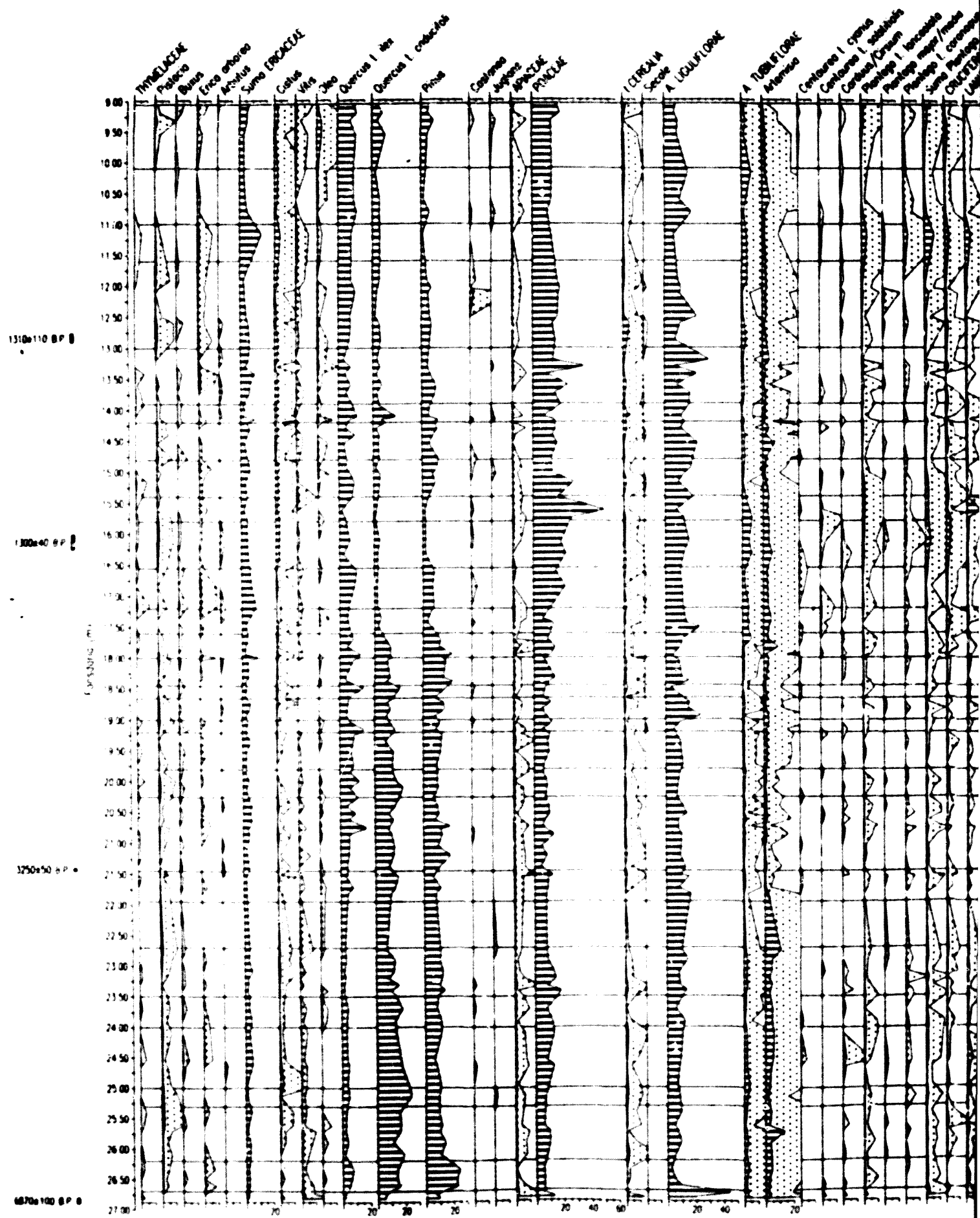


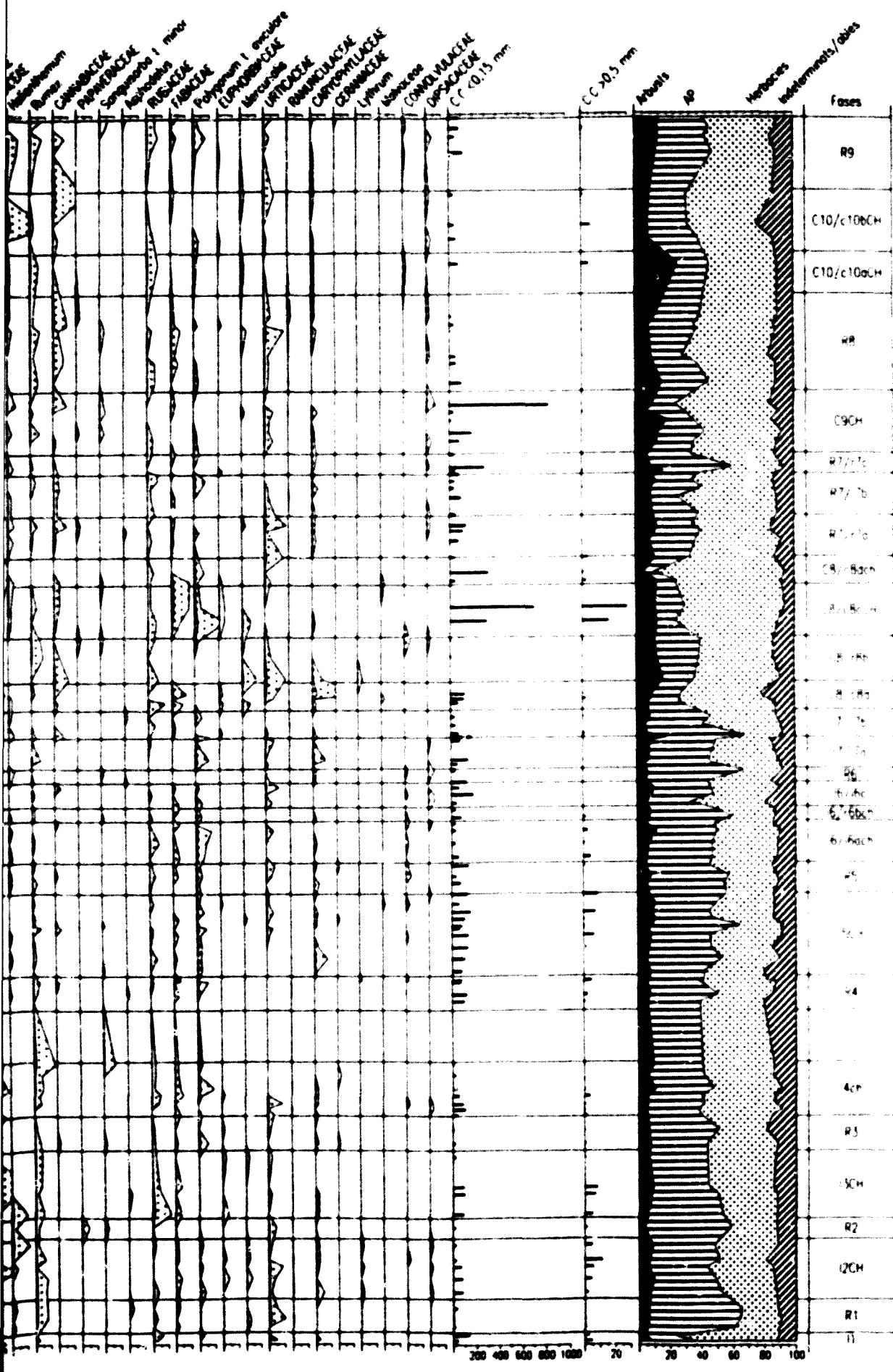
Fig. X | Proposta de correlació de les lavers de perlita que representen els nivells aderats a diverses sinclines.

Fig. X.2. Diagrama percentual del sondeig DR-1, en aparellen detallats la totalitat d'IA



BESOS (PLA DE BARCELONA) 6 m.s.n.m





MERCABARNA (PLA DE BARCELONA) 7 m s.n.m

1000x1000 p.

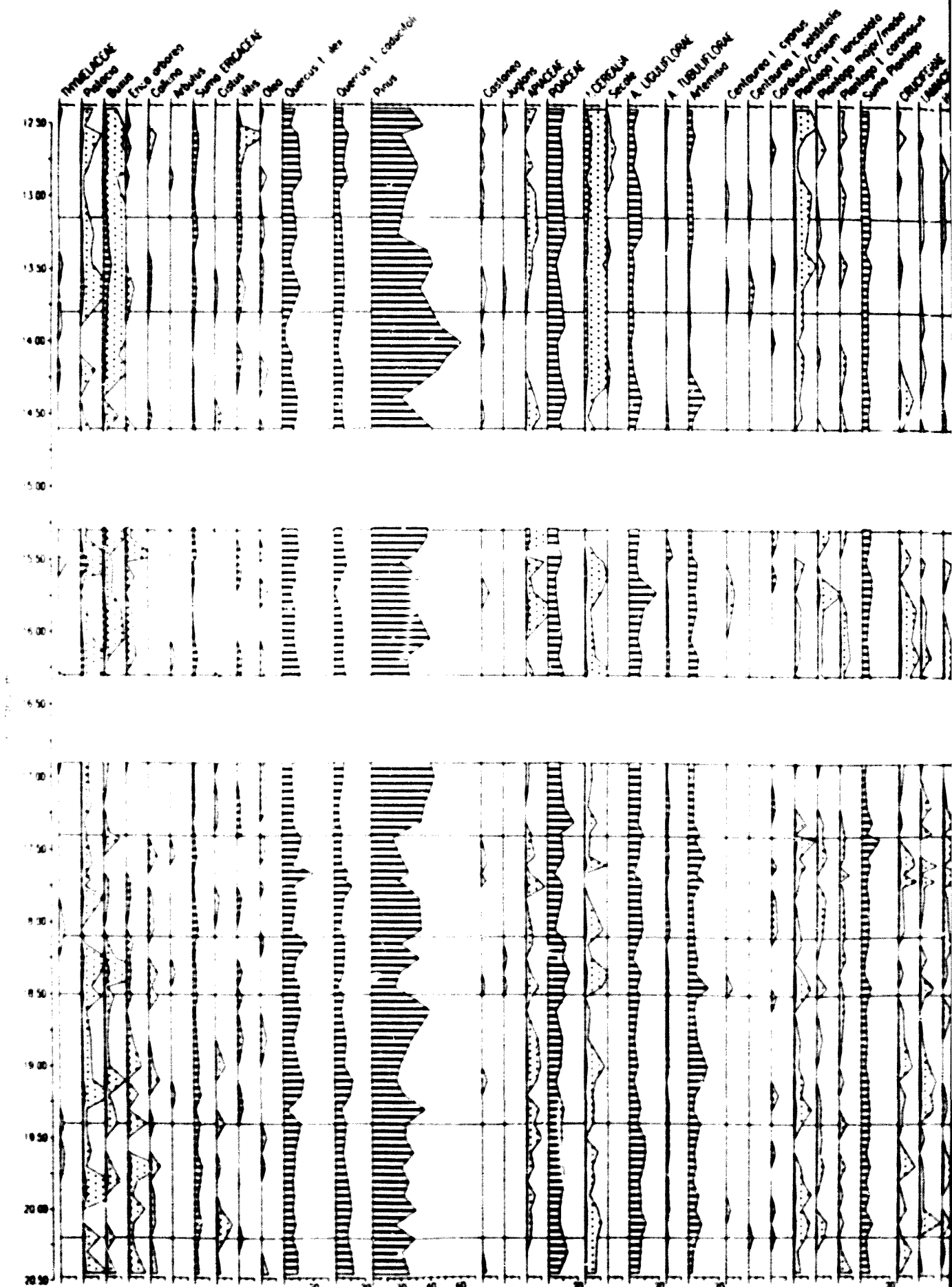
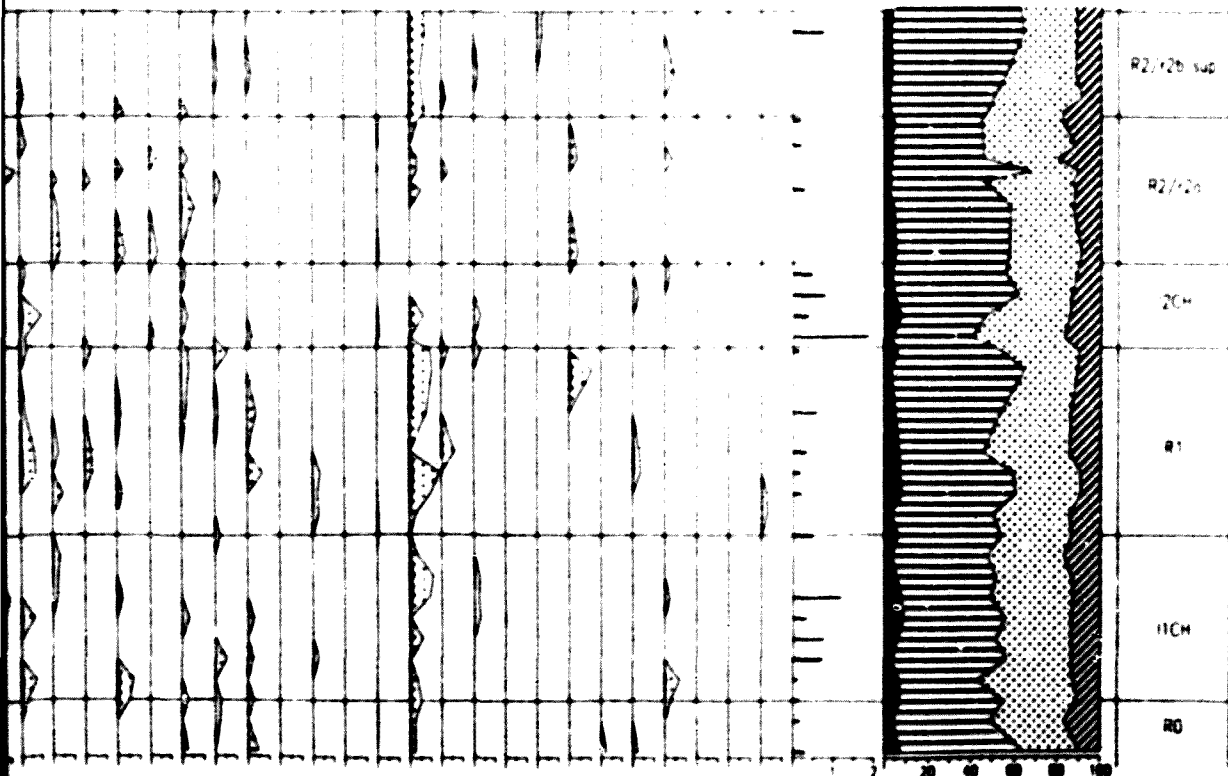
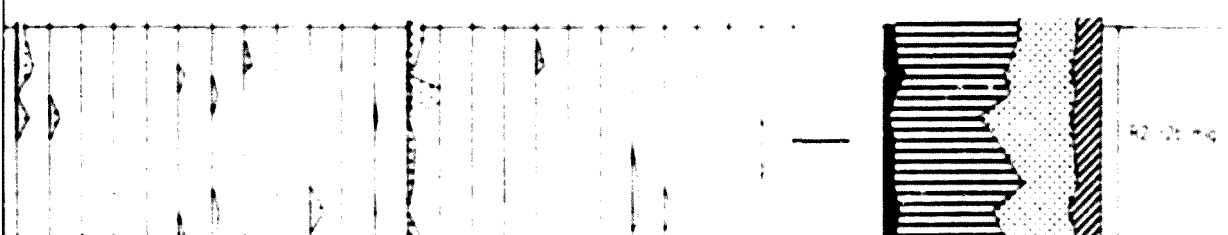
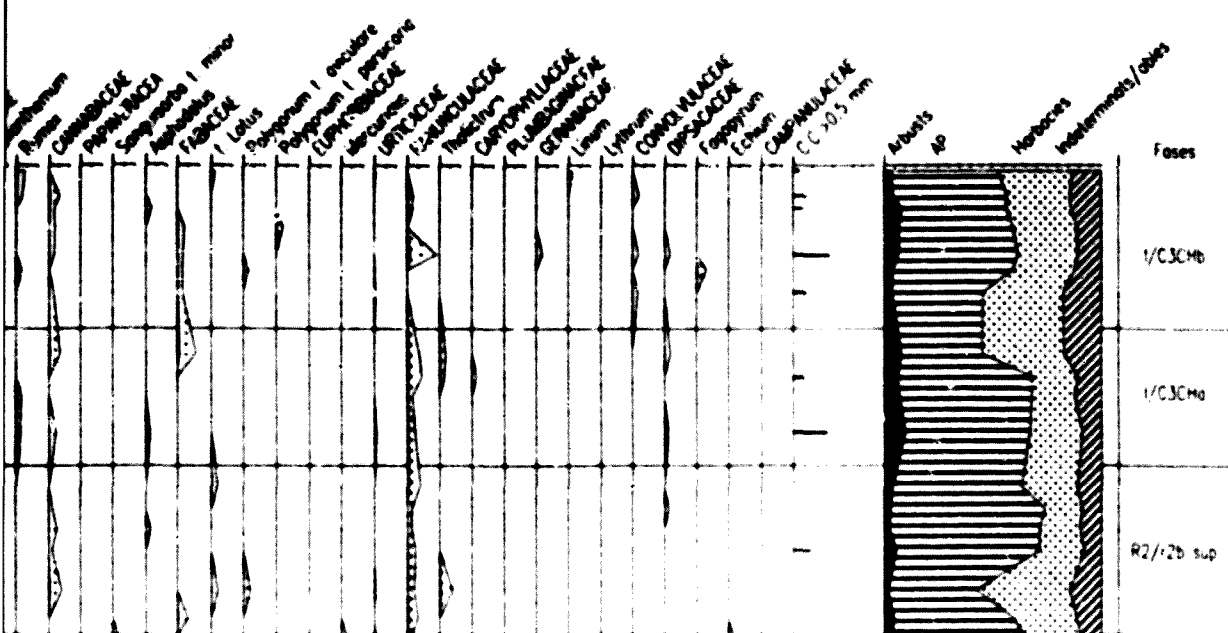


Fig. X.5. Diagrama percentual del conflicto MBA en años



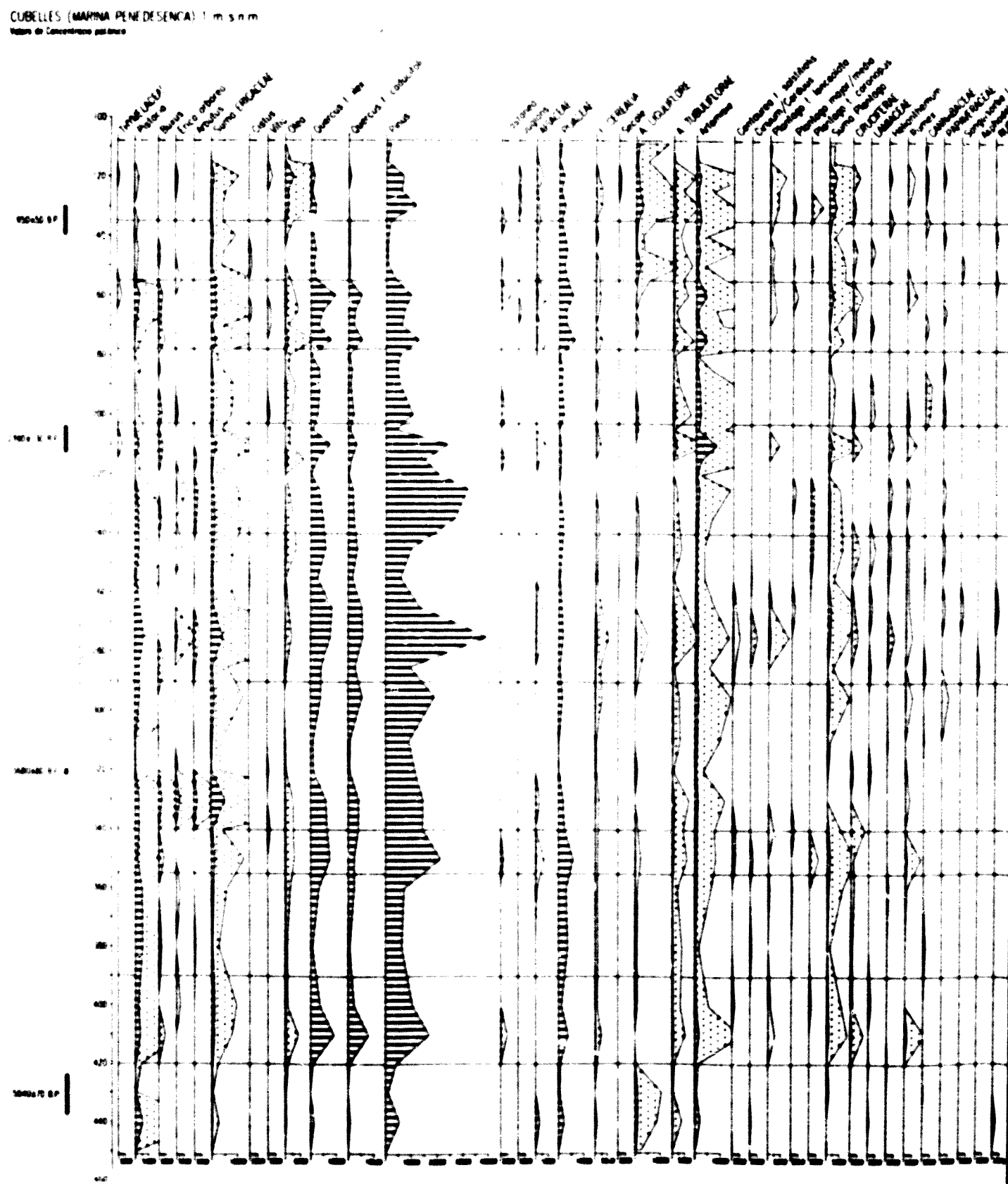
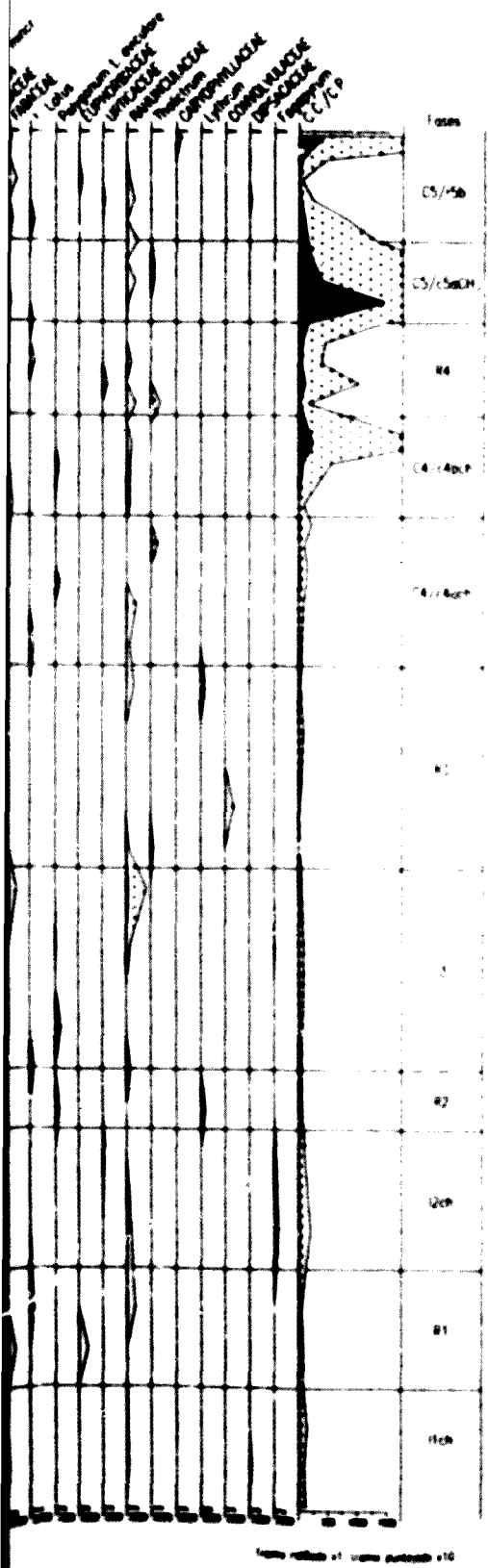


Fig. X-4. Diagrama de CP del sondaje CTB en aparente. Estación centralidad de LN



CUBELLES (MARINA PENEDESA) 1 m s n m

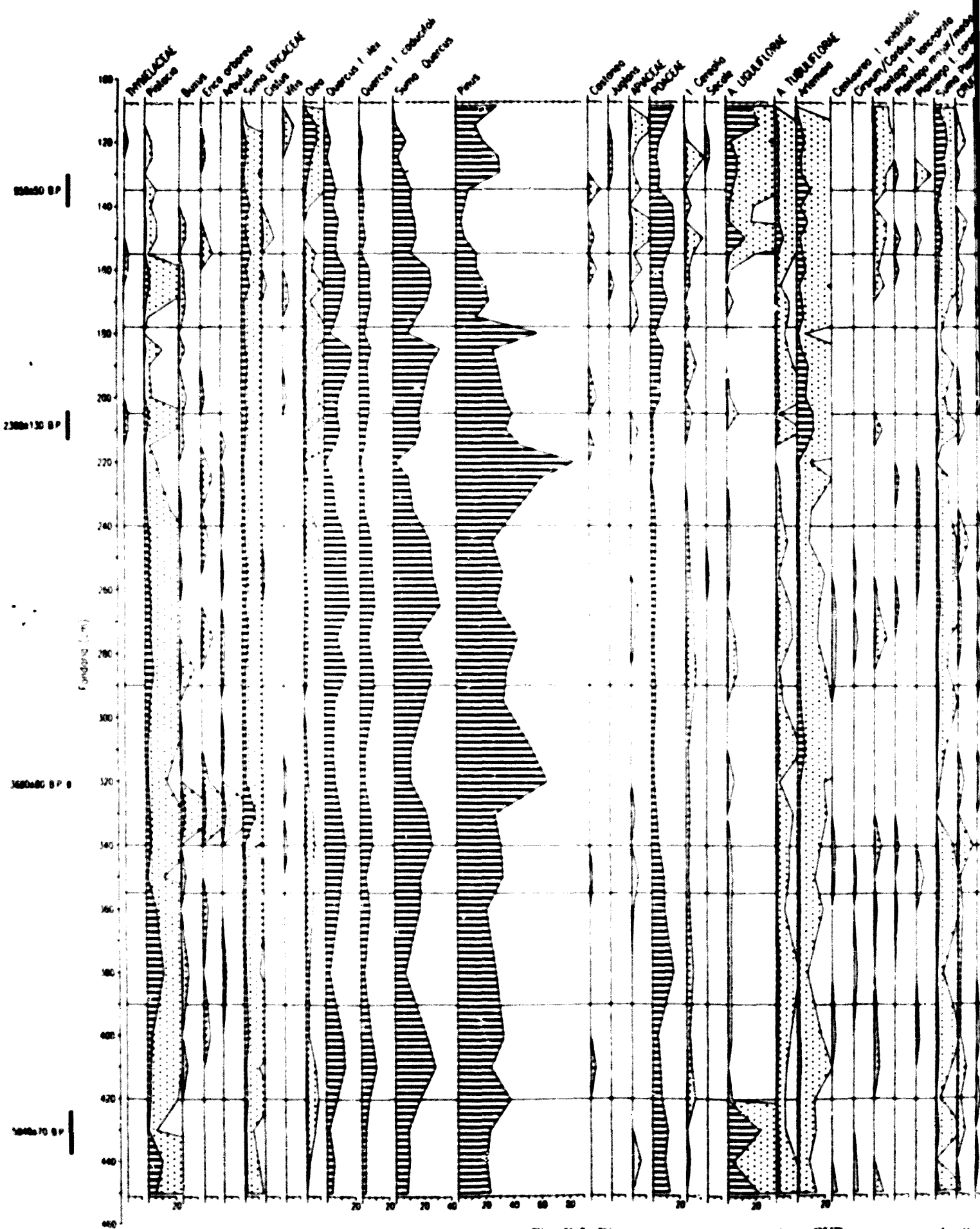
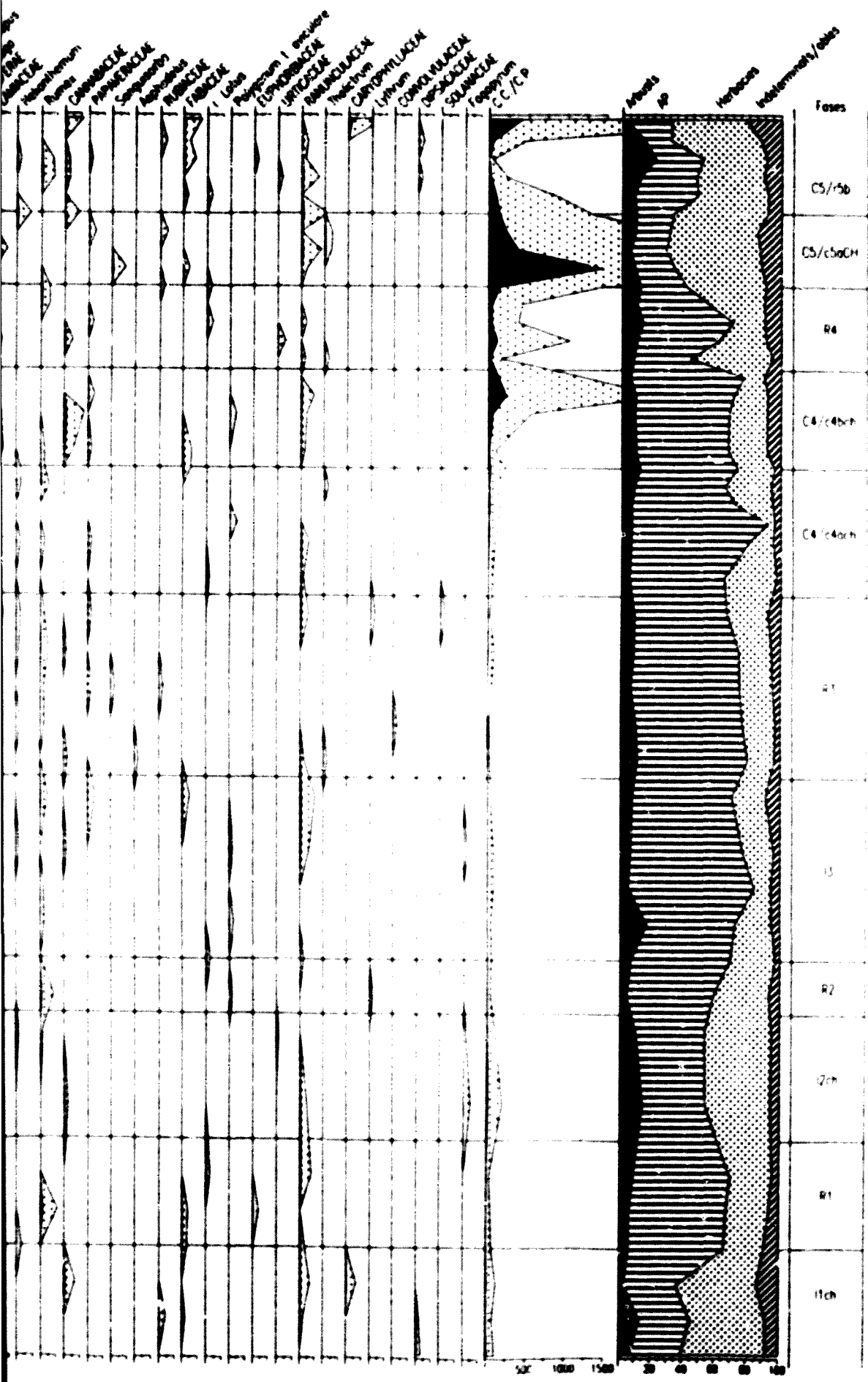


Fig. X.3. Diagrama percentual del sondatge CUB, on apareixen detallats



Període	Cronologia	Punt de dades		Can Baróred	Can Tintero	Can Centre	
		Tesone	Cronotècnic				
Suro-romà	c. 2500/2400 B.P.	Hordeum vulgare Lathyrus Vicia whitei Vicia sp. Vicia sativa Amarantus			Avena fatua Triticum monococcum T. dicoccum T. spelta Hordeum vulgare Fabaceae Caryophyllaceae	c. 2850/2850 B.P.	
Grans Flots			2220 B.P.	Hordeum vulgare Triticum aestivum Celtis australis			
Eneolític			4080/ 4225 B.P.	Hordeum vulgare Triticum monococcum		Olis europees	
Neolític mitjà					4.310/ 5070 B.P.	Hordeum vulgare H. vulgare var. nudum Vicia sp. Triticum monococcum T. aestivum T. dicoccum Leguminosae Chenopodiaceae	
Neolític antic Epiatlàctic			6700/ 6600 B.P.	Hordeum vulgare Triticum monococcum T. dicoccum T. aestivum	5500/ 5600 B.P.	Hordeum vulgare H. vulgare var. nudum Triticum dicoccum T. durum/dicoccum Olis europees Vicia whitei Liliacées Guttae Poteridaceae	

Fig. X 7 Quadre resum del conjunt de dades paleoarqueològiques cronopades al sector central de la crista catalana

MURTRASCA (PLA DE BARCELONA) 4 m x 6 m
Tours de Concentración Puntadas

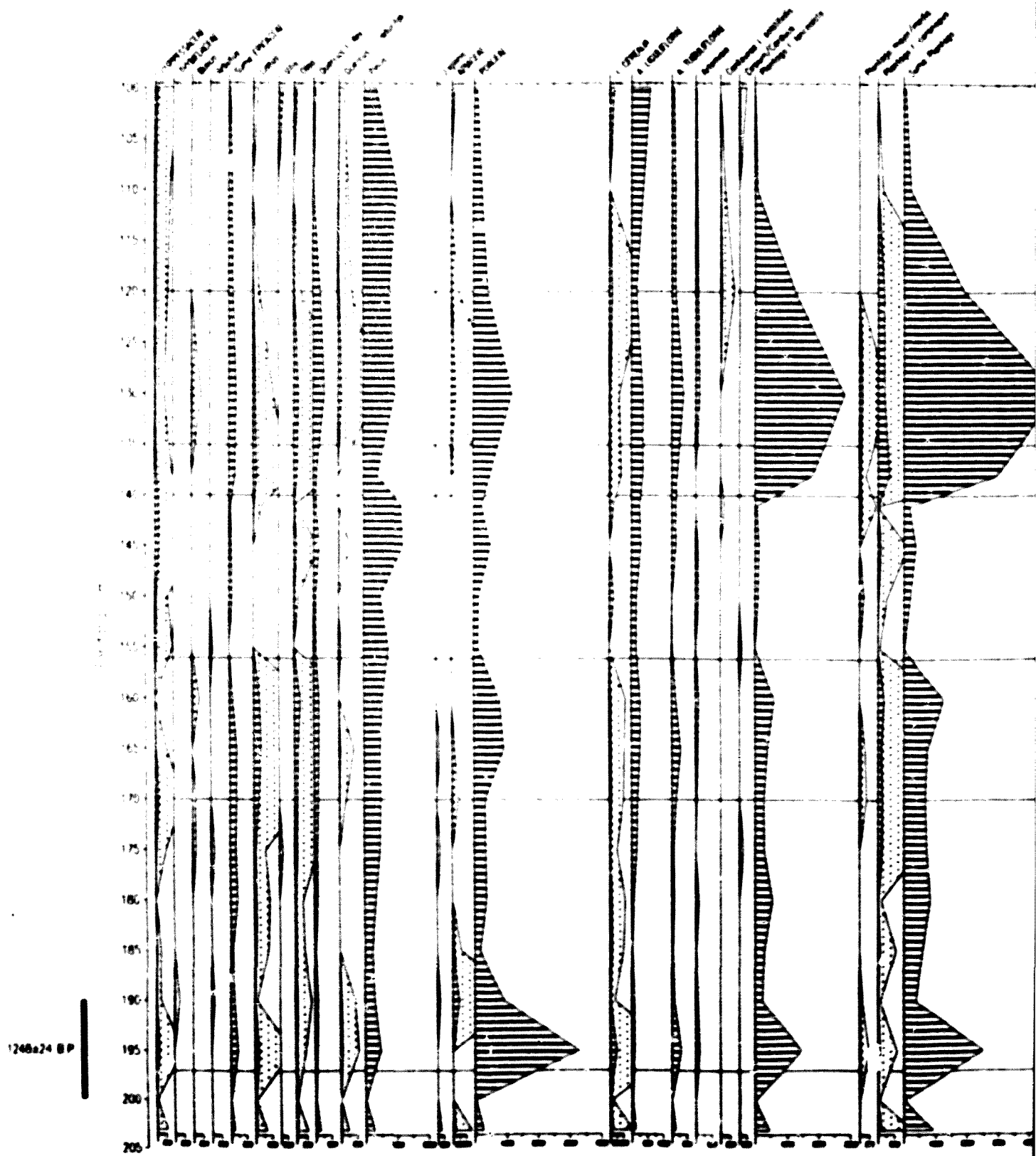
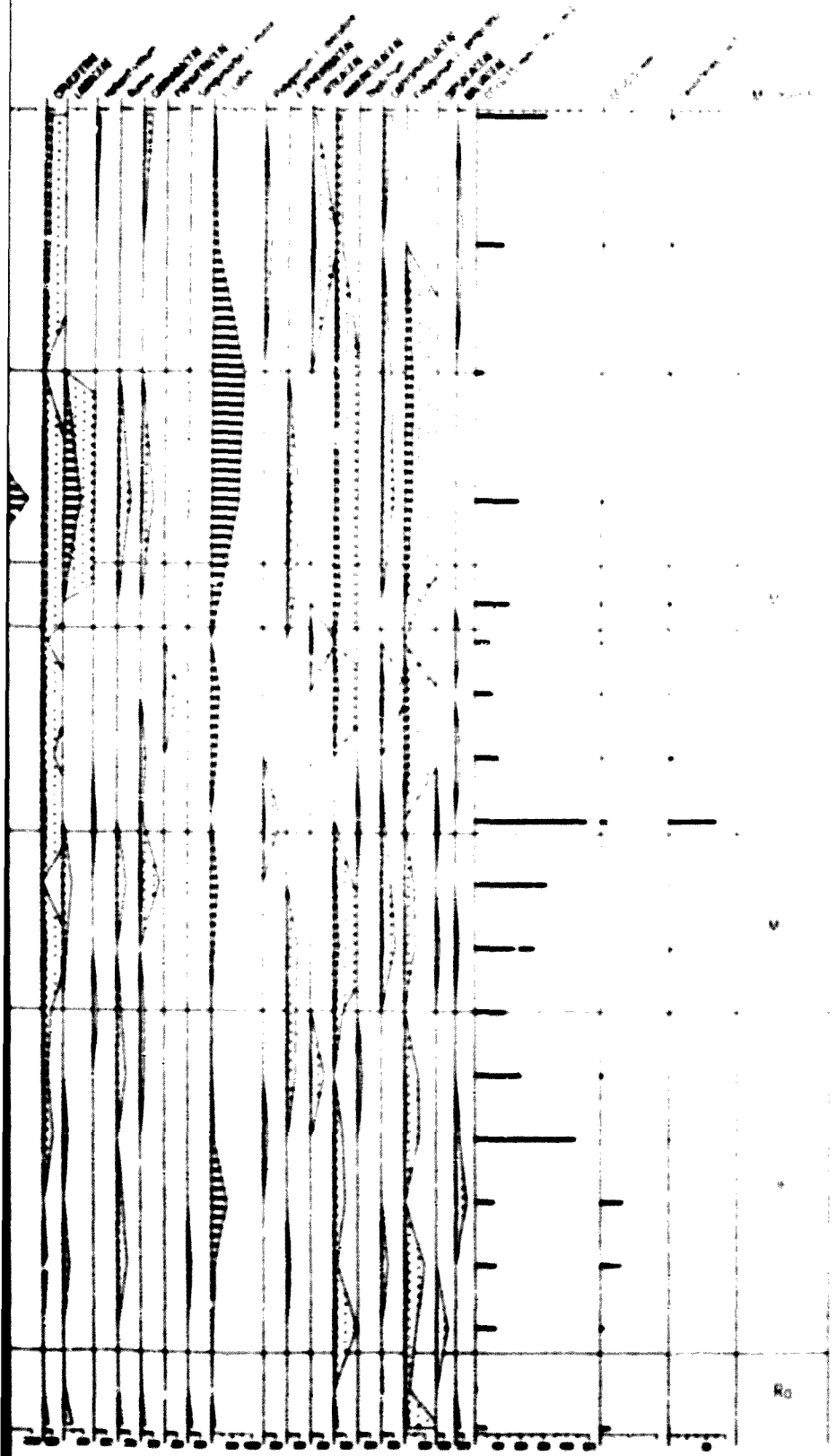
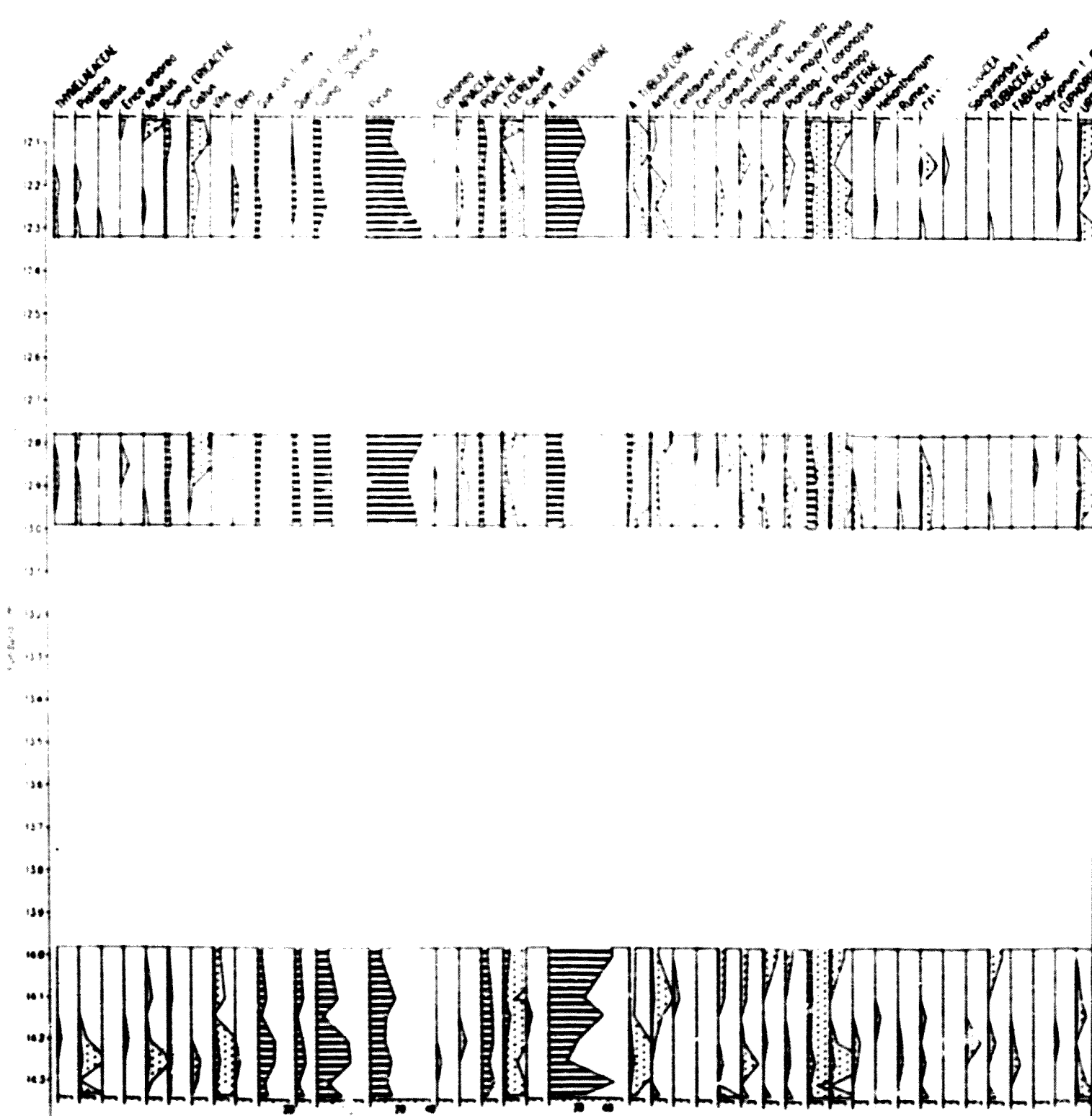


Fig. X.9. Diagramas de C.P. del sondeo MTR, en aparecen detallados la to-



Tromo rotulado x1, tromo puntejado x10

AN CLOT (PLA DE BARCELONA) 12-15-84



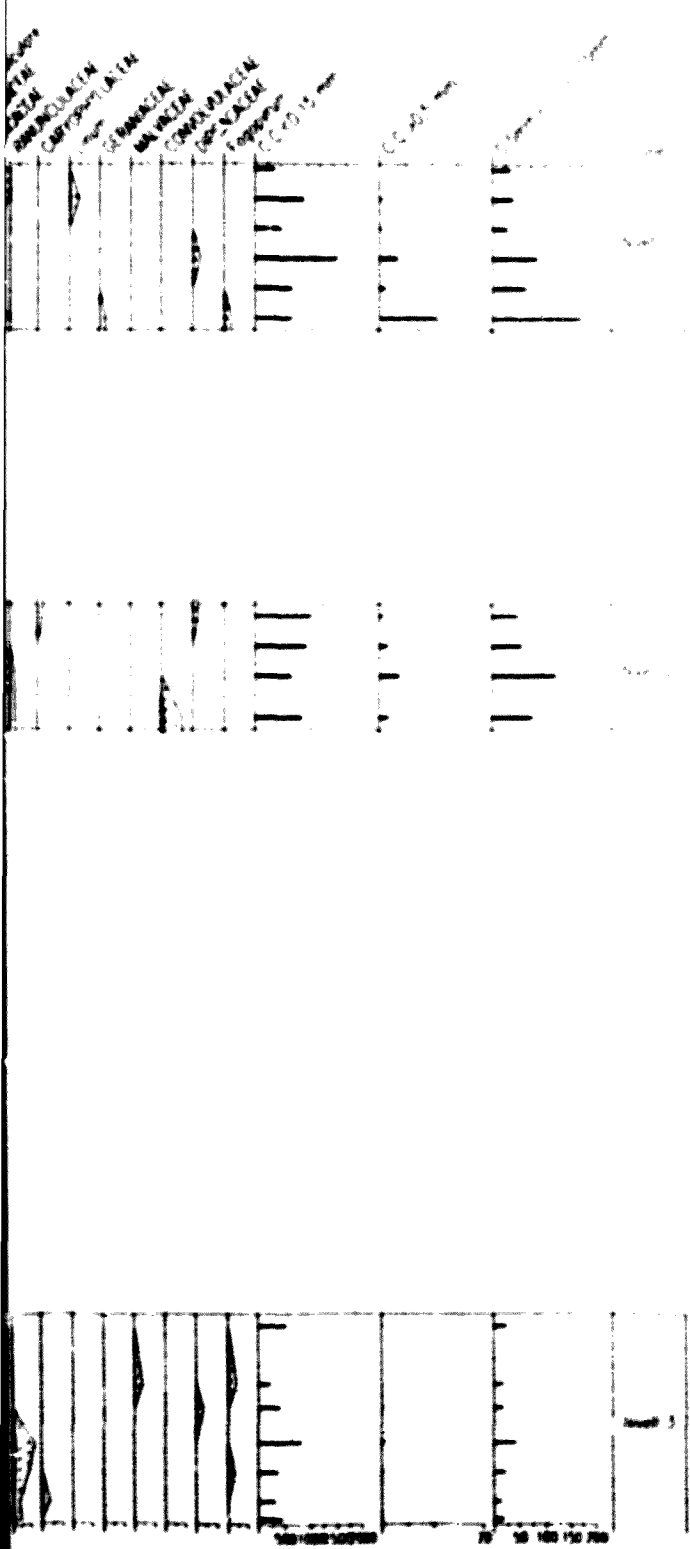


Figure 2: Electrophoresis patterns of C. elegans and C. briggsae.

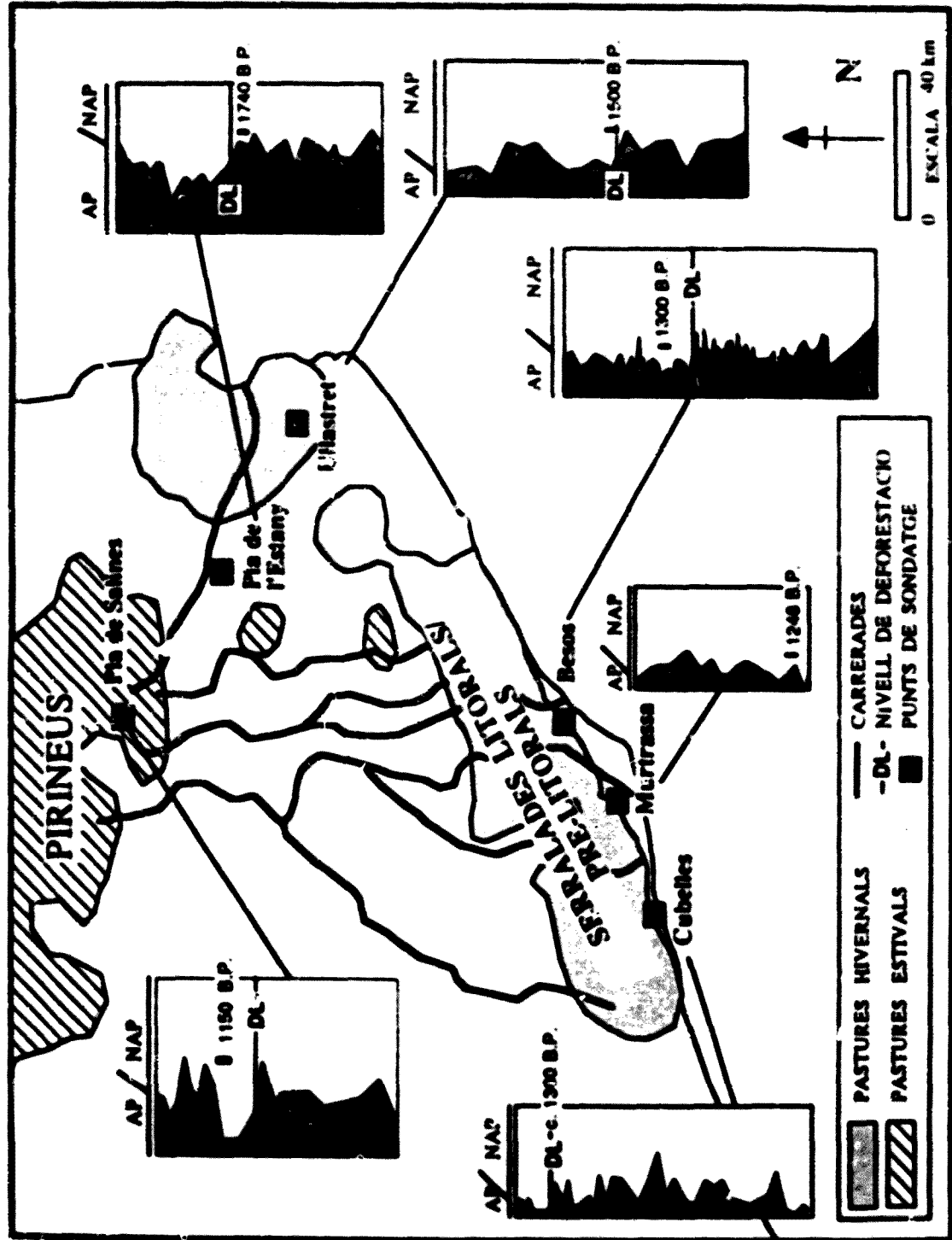


Fig. X-10 Localització dels sondatges catalans que han presat en evidència nivells de dàtives en entre els

V i VIII d.C., en relació amb les zones de pastures estivals i hivernals, així com amb les principals carreteres. Aquest

Les dades d'Ullastret provenen d'A. Fischetti (1988), les dels darrera informació ha estat extreta de J. Vila i Valencí (1950)

Rue de l'Estaque: 16 rue des Grands-Carreaux, à l'angle du Rue des Salernes, de l'Estaque.